

&lt;概説&gt;

## 크롬의 전착반응

李柱性\*

### 1. 서언

최근 전기화학적 측정법의 발달 및 이 측정값의 의의등이 명백해짐에 따라, 지금까지 곤란시되어 있었던 여러가지 문제점이 차츰 해명되게 되었으며 이에 관한 보고등이 역시 많아지고 있다.

특히 전극반응을 해명하는 방법의 한 수단으로서 전류-전위곡선(분극곡선)을 측정하여 이로부터 반응메카니즘을 추정하는 방법이 있는데 일반적인 금속이온의 경우에는 대체로 이 곡선의 모양이 간단하므로 거의 메카니즘이 규명되다 싶어 되어 있으나, 크롬이온의 환원반응인 전착메카니즘인 경우에는 이 곡선 자체가 대단히 복잡하여 현재까지도 이에 대한 해석이 충분하다고 할 수 없는 실정이다.

이상과 같은 복잡한 분주곡선의 해석과 이에 관련되는 자료를 종합하여 여기에 간단히 소개해 볼까한다.

### 2. 크롬금속의 전착반응

$\text{Cr(VI)}$ 의 전해환원에 관한 연구는 산화반응보다 더 많은 연구가 진행되었으며 그 내용은 주로 크롬도금욕에 관한 크롬금속의 전착메카니즘 및 음극측에 생성하는 피막에 관한 것<sup>1~23)</sup> 수은음극을 사용한 Polarograph적 연구<sup>24~28)</sup> 및 기타 미소(微小) 전극상 또는 반응속도론적 고찰 등<sup>29~36)</sup>으로 구분되고 있다. 이와 같이 여러방면으로 연구의 대상이 된 것은 그 반응메카니즘이 복잡해서 해명이 곤란하기 때문이다.

서언에서도 언급한 바와같이 전극반응을

해석하는 한 방법으로서 전류-전위곡선을 측정하여 반응메카니즘을 추정하는 방법이 있으나 크롬전착인 경우에는 꼭선자체가 대단히 복잡하여 타 금속이온의 경우와 같이 간단하지 않다. 예를들어 간단한 이온의 환원반응, 즉 은 및 구리이온등은 전체반응의 율속단계가 전류밀도에 의하여 틀려진다(<sup>37~39)</sup> 소지금속의 결정상태에 의하여 어떻게 영향을 받는가 하는것 등<sup>40)</sup>, 상세히 논의되어 있으나 크롬금속전착인 경우는 분극곡선을 해석하는데도 아직 충분하다고 할 수 없는 실정이다.

즉 크롬도금욕으로는  $\text{CrO}_3$  100~400 g/l에  $\text{CrO}_3/\text{SO}_4^{2-} = 100/1$ 의 비율로  $\text{SO}_4^{2-}$ 를 첨가한 Sargent욕을<sup>11)</sup> 사용하며, 분극곡선은 금속전착과정이  $\text{Cr(VI)} \rightarrow \text{Cr(IV)} \rightarrow \text{Cr(II)} \rightarrow \text{Cr(0)}$ 인지 또는  $\text{Cr(VI)} \rightarrow \text{Cr(0)}$ 인지를 알기 위하여 측정하게된 것이다.

$\text{CrO}_3$  수용액( $\text{SO}_4^{2-}$  이온포함)의 전형적인 전류-전위곡선의 모양 및 Pt와 Au를 음극으로 사용한 전류-전위곡선을 각각 Fig 1~3에 표시하였다. 이 그림들을 살펴보면 순수한  $\text{CrO}_3$  ( $\text{SO}_4^{2-}$ 가 없는 상태)에서는 Pt 음극이던 Au 음극이던 간에 제Ⅱ가지가 없으며 제Ⅲ가지에 상당한 전위범위(약 -0.4 V vs SCE)에 도달하면 처음으로 전류가 흘러 수소발생 반응이 일어난다.

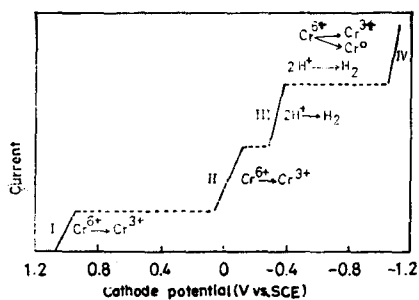


Fig. 1. Schematic representation of the cathodic polarization curve in chromium plating sol'n. by galvanostatic method.

\* 漢陽大学校 工科大学 工業化学科 教授(工博)

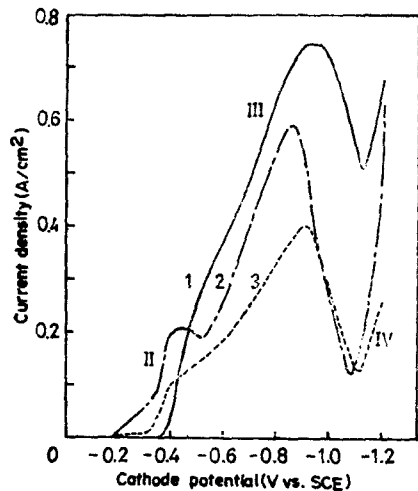


Fig. 2. Cathodic polarization curves with Pt.  
1 : 2.5 M CrO<sub>3</sub>; 2 : 2.5 M CrO<sub>3</sub>, 0.025 M H<sub>2</sub>SO<sub>4</sub>; 3 : 0.4 M CrO<sub>3</sub>, 0.004 M H<sub>2</sub>SO<sub>4</sub>; Potential sweep rate, 20 mV/min.

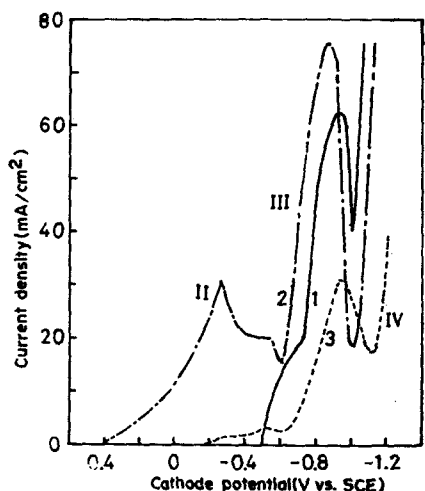


Fig. 3. Cathodic polarization curves with Au.  
1 : 2.5 M CrO<sub>3</sub>; 2 : 2.5 M CrO<sub>3</sub>, 0.025 M H<sub>2</sub>SO<sub>4</sub>; 3 : 0.2 M CrO<sub>3</sub>, 0.002 M H<sub>2</sub>SO<sub>4</sub>; Potential sweep rate : 20 mV/min.

그러나 SO<sub>4</sub><sup>2-</sup>를 첨가하면 음극 채질에 관계없이 수소발생 전위보다 noble 전위에서 Cr(VI) → Cr(III)의 환원전류가 흐른다. 더 자세히 Pt 음극에 대하여 설명하면 약 -0.2 V부터 전류가 흐르기 시작하며, 전위가 base로 되면 될수록 전류가 커지고 제Ⅲ가지의 도중 약 -0.3 V 부근에서 분극곡선에 굴곡점이 생겨 제Ⅱ가지로 부터 제Ⅲ가지로 이동한다. -0.4 ~ -0.5 V의 전위범위에서는 전류의 하강

(下降) 현상, 즉 음극부 동태화현상이 나타난다. 제Ⅲ가지부터 제Ⅳ가지의 이동과정인 약 -0.8 ~ -1.0 V의 전위범위에서 현저한 전류의 하강을 거쳐 제Ⅳ가지에 도달하게 되고 비로소 금속크롬의析출이 일어난다고 생각하고 있다. 이런 불연속적인 곡선을 가지고 전차거동을 판련 짓는다는 것은 대단히 어려우나 Liedreich<sup>1)</sup>는 이 불연속적인 곡선과 환원과정을 관련시켜 Cr(VI) → Cr(III) → Cr(II) → Cr(0)인 단계적 환원설을 주장하였으나 신빙성은 매우 회박하다.

Muller<sup>2)</sup> 및 木村<sup>3)</sup> 등의 논문의 대부분은 분극곡선이 불연속으로 되는 이유 및 소지금속에 따라 변화하는 이유의 설명으로부터 Cr(VI) → Cr(0)의 반응으로 결론지었고, 분극곡선이 복잡해지는 원인은 음극에 생성되는 Chromium Chromate film의 성질에 기인한다고 하였다. Kasper<sup>5)</sup>도 분극곡선 및 기타 실험의 결과로 부터 Cr(VI) → Cr(0)의 반응으로 결론을 내렸으며 방사선원소 Cr-51를 tracer로 사용한 Brenner<sup>6)</sup>의 결론도 마찬가지로 Cr(VI) → Cr(0)으로 직접환원된다고 하였다. 石田<sup>4)</sup>는 흑색크롬도금의 문제로부터 고찰하여 음극에 생성하는 Chromate film의 전기화학적 환원에 의한 금속크롬생성설을 주장하였다. 그러나 Snavely<sup>7)</sup>는 Cr(VI)이 전해환원을 일으켜 중간체인 Chromic-Chromous Complex를 형성하고 더 나아가 음극 층에서 원자상태인 수소에 의하여 Cr(0)로 환원된다고 하였다. 또한 Vagramyan 등은 Cr(VI) → Cr(III)과 Cr(VI) → Cr(0)의 환원은 서로 별개의 과정을 밟으며 Cr(VI) → Cr(0)은 순수한 전기화학적반응에 의하여 일어나며 Cr(VI) → Cr(III)은 생성된 원자상태인 수소에 의하여 음극표면에서 일어난다고 하였다.

저자는 Sargent과 아닌 Cr(VI) —

황산계 용에서의 환원을 살펴한 결과<sup>36)</sup>  
 $\text{Cr(VI)} \rightarrow \text{Cr(III)}$ 의 반응은 순수한 전기화학적 반응에 의하여 일어나고 이들 반응은 pH에 따라 큰 영향이 있음을 시사하였다. 이와 같이 크롬금속전착에 카니즘은 여러 설이 있으나 대체로  $\text{Cr(VI)} \rightarrow \text{Cr(0)}$ 의 환원과정을 지지하고 있다.

### 3. 음극 film의 생성과 이의 조성

Fig 2, 3를 보기 쉽게 한 그림에 그린 것이 Fig 4이다. 즉 순수한  $\text{CrO}_3$ 만이 함유한 수용액의 분극곡선을 보면  $\text{Cr(VI)}$

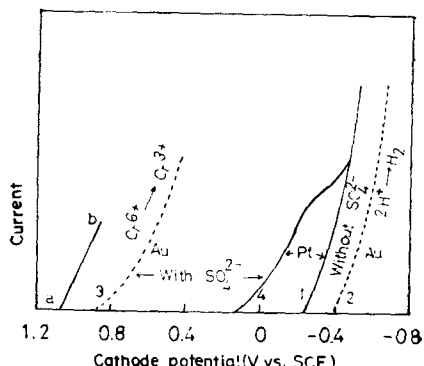


Fig. 4. Cathodic polarization curve in  $\text{CrO}_3$  sol'n.

의 환원반응이 일어나지 않고 수소가스만이 발생하고 높은 전류밀도에서는 산화물을 포함한 흑색크롬을 생성하게 한다.

그러나 이 순수한  $\text{CrO}_3$  용에  $\text{SO}_4^{2-}$ 를 첨가하면 Pt 이거나 Au 이거나 관계없이 수소발생전위에 도달하기 전에  $\text{Cr(VI)} \rightarrow \text{Cr(0)}$ 의 환원전류가 흐르며 이 전류가 흐르기 시작하는 전위는 사용하는 음극재 질에 따라 서로 다른 결과를 나타낸다.<sup>18)</sup>

Fig 4의 a 점은  $\text{Cr}_2\text{O}_7^{2-} + 14\text{H}^+ + 6e^- \rightleftharpoons 2\text{Cr}^{3+} + 7\text{H}_2\text{O}$  반응의 표준전극전위에 해당하며 이로 인하여 순수한  $\text{CrO}_3$  용액

의 전류-전위곡선은 a - b 선과 같이 되어야 하나, 실제로 측정하면 곡선 1 및 2와 같이 된다.

이 원인을 Müller는<sup>2)</sup> 아주 적은 전류밀도에서  $\text{Cr(VI)} \rightarrow \text{Cr(III)}$ 의 환원이 일어나면 즉시 Fig 5(a)와 같은 불용성인 Chromium Chromate film ( $\text{Cr(OH)}\text{CrO}_4$ )이 생성하여  $\text{Cr(VI)}$ 의 환원반응을 방해한다고 하였다. 이 film은 수소이온만을 통하게 하는 pore가 생겨 수소가 발생하는 전위까지 오면 사용하는 음극금속의 수소과전압의 차에 의하여 각각 다른 전위에서 전류가 흘려  $2\text{H}^+ \rightarrow \text{H}_2$ 의 환원반응이 일어난다고 설명하였다

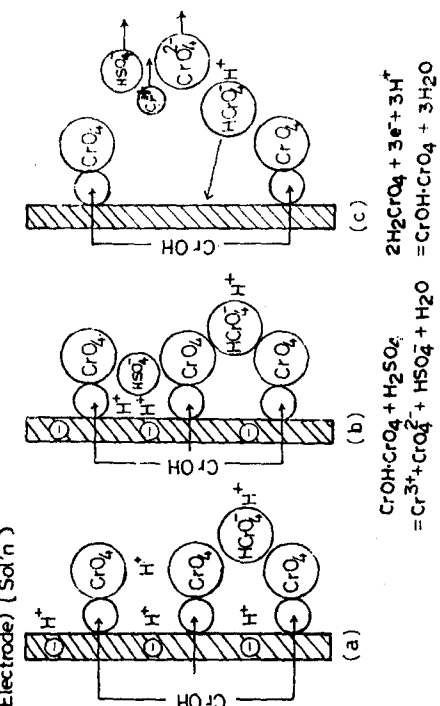


Fig. 5. Chromium Ol-chromate film.

그런데 여기에  $\text{SO}_4^{2-}$ 를 첨가하게 되면  $\text{Cr(VI)} \rightarrow \text{Cr(III)}$ 의 환원이 일어나게 되는 이유로서 그림 5(b, c)와 같이 film의 일부가 용해하여  $\text{HCrO}_4^-$  이온이 통하는 pore가 생기기 때문이라고 하였다.

Table 1  
Chemical formula of film

Formula	Authors and Ref.
$\text{Cr}(\text{OH}) \cdot \text{CrO}_4$	Müller <sup>2)</sup> (1926)
$\text{Cr}_2\text{O}_3 \cdot \text{CrO}_3$	Sargent <sup>11)</sup> (1920)
$\text{Cr}_2\text{O}_3$	Cohen <sup>2)</sup> (1944)
$\text{Cr}_2\text{O}_3$	Weinert <sup>18)</sup> (1960)
$\text{Cr}(\text{OH})_3 \cdot \text{Cr}(\text{OH}) \cdot \text{CrO}_4$	Levin <sup>13)</sup> (1961)
"	Liebreich <sup>1)</sup> (1935)
"	Kasper <sup>5)</sup> (1932)
$\text{Cr}(\text{OH})_3$	Sysoev <sup>14)</sup> (1960)
"	Soloveva <sup>15)</sup> (1962)
$\text{Cr}(\text{OH})_3 \cdot 3\text{H}_2\text{O}$	Kondo <sup>16)</sup> (1968)
$2\text{CrOOH} \cdot 3\text{H}_2\text{O}$	Uchida <sup>17)</sup> (1969)

만약 Pt 이던 Au 이던간에 이 film이 동일한 것이라면 그림 4의 (3) 및 (4)의 곡선은 일치하여야 되나 그렇지 않는것은 Au는 수소를 흡착하지 않으나 Pt는 용이하게 수소를 흡착하기 때문에 전류가 흐르기 시작하는 전위가 일치하지 않는다고 하였다.

Müller이 외에도 이 film에 관하여는 대단히 많은 연구가 행해졌으며 이에 따라 film의 시성식도 여러 가지 보고가 있다. film의 시성식을 Table 1에 열거하였다. 표중 内田들은 film의 두께, 탈수량의 측정, film 중의 전크롬량과의 상관관계로 부터 이 film의 구조는 비정질인 부동태피막이고, 비교적 강하게 결합된 물에 불용성이고 크롬을 중심으로 8면체구조가 능(棱) 또는 면에 octo-bridge로서 연결된 거대한 분자구조라고 추정하였으며 이를 Fig 6에 표시하였다.

또한 Weinert들은 전자회절에 의하여  $\text{Cr}_2\text{O}_3$ 의 구조를 얻었으나 회절상 활영시, 고진공과 가열때문에 film 구조의 변화를 생각 할 수 있으므로 실제의 film 속에는 약간의 물이 함유되어 있을 것이

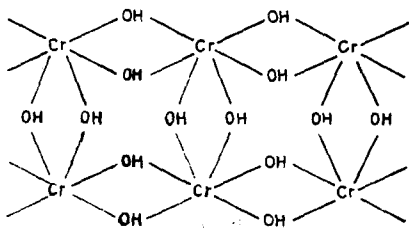


Fig. 6. Structure of ol-compound.

라고 추정하였다. 이와같이 여러가지 시성식이 제시되었으나 결과적으로는 Cr(VI)의 환원에 의하여 생긴것임을 알 수 있다.

이상과 같은 도금욕내에서 생기는 film<sup>20)</sup>과는 별도로 Kolthoff 등은 크롬산 염을 포함하는 약산성용액 중에서 음극을 응분극시켜 먼저 film을 가지는 선극을 얻어, 이 선극과 film을 가지지 않는 전극에 대하여 여러가지 이온에 대한 한계전류를 측정하여 film의 투과성을 검토하였으며 그 결과를 Table 2에 표시하였다.

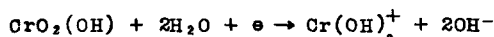
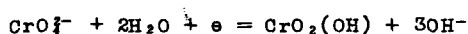
또한 전이원소인 크롬의 산화물인  $\text{Cr}_2\text{O}_3$ 가 박도체적 성질을 가지고 있

Table 2

Table 2 Effect film on limiting of various species.

System	Supporting electrolyte	Decrease limiting current in %	Electrode reaction
$10^{-5} M$ Iron (III) chloride	0.2N HCl	Close to 100	$\text{Fe}(\text{III}) \rightarrow \text{Fe}(\text{II})$
$10^{-5} \sim 10^{-4} M$ Iron (III) nitrate	0.1N HNO <sub>3</sub>	Close to 100	$\text{Fe}(\text{III}) \rightarrow \text{Fe}(\text{II})$
$10^{-5} \sim 10^{-4} M$ Iron (II) sulfate	0.1N H <sub>2</sub> SO <sub>4</sub>	Close to 100	$\text{Fe}(\text{II}) \rightarrow \text{Fe}(\text{III})$
$10^{-5} M$ Copper (II)	0.05M KCl	Ca. 80 14	$\text{Cu}(\text{II}) \rightarrow \text{Cu}(\text{I})$ $\text{Cu}(\text{I}) \rightarrow \text{Cu}(\text{O})$
$10^{-5} M$ Copper (II)	(Pyridine+KCl)	Ca. 80 40	$\text{Cu}(\text{II}) \rightarrow \text{Cu}(\text{I})$ $\text{Cu}(\text{I}) \rightarrow \text{Cu}(\text{O})$
$10^{-5} M$ Copper (II)	NH <sub>4</sub> Cl+NH <sub>4</sub> OH	28 35	$\text{Cu}(\text{II}) \rightarrow \text{Cu}(\text{I})$ $\text{Cu}(\text{I}) \rightarrow \text{Cu}(\text{O})$
$10^{-4} \sim 10^{-5} M$ Permanganate	0.001N H <sub>2</sub> SO <sub>4</sub>	62	Mn(VII) → Mn(II)
$10^{-5} M$ Permanganate	1N H <sub>2</sub> SO <sub>4</sub>	59	Mn(VII) → Mn(II)
$10^{-5} M$ silver	0.1M NaNO <sub>3</sub>	0	$\text{Ag}(\text{I}) \rightarrow \text{Ag}(\text{O})$
$10^{-5} M$ Silver	0.1N H <sub>2</sub> SO <sub>4</sub>	0	"
$10^{-5} M$ Cerium (IV)	1N H <sub>2</sub> SO <sub>4</sub>	21	Ce(IV) → Ce(III)
$10^{-5} M$ Thallium	0.1N NaOH	0	Tl(I) → Tl(III)
	0.1N NaOH	0	Tl(I) → Tl(O)
Oxygen	0.1M KCl	35	$\text{O}_2 \rightarrow \text{H}_2\text{O}_2$
$10^{-5} M$ Iodine	0.1N H <sub>2</sub> SO <sub>4</sub>	27	$\text{I}_2 \rightarrow 2\text{I}^-$
$10^{-5} M$ Iodine	0.1M KI	44	$\text{I}_3^- \rightarrow \text{I}^-$
$10^{-5} M$ Iodine	0.1N HClO <sub>4</sub>	50	$2\text{I}^- \rightarrow \text{I}_2$

으로<sup>21)</sup>, Gerischer 등은<sup>22)</sup> 이 film 도 반도체적 성질을 가지고 있어서 Kolthoff 등의 결과는<sup>20)</sup> 바로 이 반도체적 성질에 의한 전극 반응의 선택성 때문이라 하였다. 이 외에도 film의 두께를 측정한 결과가 있다. 즉 반응이 Cr(V) → Cr(III)인 3전자반응이라 가정하고 전류-시간곡선에서 Cr(III)이 생성되어 film이 되는 전 전기량을 계산하여 Kolthoff<sup>21)</sup>는  $1.12 \times 10^{16}$  ion/ $0.76 \text{ cm}^2$ , 石田<sup>20)</sup>는  $1 \times 10^{15}$  ion/ $\text{cm}^2$ 의 값을 얻었으며 이 값은 대략 단분자층의 두께에 해당하며 또한 関根等<sup>23)</sup>은 전위주사법의 해석 및 분극곡선으로부터 film이 단분자층으로 되어 있음을 확인하고 있으며 film의 형성 및 용해반응 메카니즘으로서



을 제시하였다.

이상과 같이 크롬도금 시에는 이 film이 대단히 중요한 역할을 하며 황산이 이 film을 용해시키는 역할을하게 된다.

이 현상을 Thomas 등은 Cr(III)의 hydroxol에 대하여 각종 음이온에 대한 anion Penetration을 Oxalate ≥ Citrate > Acetate ≥ Tartrate > Sulfate > Thiocyanate > Chloride > Nitrate 등의 순서로 된다고 하였으며, 이를 토대로 石田<sup>9)</sup>는 Cr(III) 수화산화물 film 속에 있는 음이온과 도금액에 함유된 SO<sub>4</sub><sup>2-</sup>이온과 교환에 의하여 용해가 용이한 피막으로 변하고, 황산첨가에 따른 pH 변화에 따라 셜출되는 원자상태의 수소와 film과의 상관관계에서 크롬의 환원이 촉진되는 메카니즘을 제시하고 있다.

금속전착 이외에도 Cr(V)의 환원반응의 연구는 대단히 많으나 본 총설에서는 이를 약하기로 하겠다.

앞으로 크롬의 전착메카니즘에 관심을 가진 분에게 본 총설이 조금이나마 도움이 되었으면 다행으로 생각하겠다.

## 참 고 문 헌

- 1) E. Liebreich, Z.Elektrochem. 27, 94 (1921) : Trans. Faraday Soc., 31, 1184 (1935)
- 2) E. Müller, Z. Elektrochem. 32, 399 (1926) : 50, 172 (1944)
- 3) 木村肇, 林忠夫, 電気化学 37, 223, 514 (1969) : 38, 514 (1970) : 39, 424, 642, 892 (1971)
- 4) 石田武男 "電気メツキに関する研究( I )" 大阪府立大学工学部, 1962 : 金属表面技術, 10, 381, 388 (1959) : 11, 623 (1960)
- 5) C. Kasper, J. Research Natl Bur. Standards, R.P. 47, 9, 353 (1932)
- 6) F. Ogburn, A. Brenner, J. Electrochem. Soc. 96, 347 (1949)
- 7) C. A. Snavely, Trans. Electrochem. Soc. 92, 537 (1947)
- 8) D. Reinkowski, C. A. Knorr, Z. Elektrochem. 58, 709 (1954)
- 9) A. T. Vagramyan, D. N. Usachev, J. Phys. Chem. USSR, 32, 1900 (1958)
- 10) A. T. Vagramyan, et al, J. APPL. Chem. USSR 34, 1907 (1961)
- 11) G. J. Sargent, Trans. Am. Electrochem. Soc. 37, 479 (1920)
- 12) J. B. Cohen, Trans. Electrochem. Soc. 86, 441 (1944)
- 13) A. I. Levin, " Soviet Electrochemistry " Vol 2, p.69, Consultants Bureau, New York, 1961
- 14) A. N. Syssov, et al, J. Appl. Chem USSR 33, 368 (1960)
- 15) Z. A. Soloveva, et al, ibid 35, 1731 (1962)
- 16) 近藤, et al. 鉄と鋼 54, S 601 (1968)
- 17) 内田弘, et al, 日本金属学会法 33, 1286, 1290, 1295 (1969)
- 18) R. Weiner, C. Schiele, Z. Physik. Chem. N. F., 26, 248 (1960) : Met. Fin. 64, 46 (1966) : Metalloberfläche 14, 7, 69, 357 (1960)
- 19) N. E. Ryan, Met. Fin. 63, 46, 73 (1965)
- 20) I. M. Kolthoff, A. M. Shams El Din, J. Phys. Chem. 60, 1564 (1956)
- 21) W. Weller, S. E. Voltz, Z. Physik. Chem. N. F. 5, 100 (1955)
- 22) H. Gerischer, M. Kappel, Z. Elektrochem. 61, 463 (1957) : 64, 235 (1960)
- 23) 谷口功, 關根太郎, 電気化学 43, 632 (1975)
- 24) M. Demassieux, J. Heyrovsky, J. Chim. Phys. 26, 219 (1929)
- 25) J. Prajzler, Collection of Czechoslovak Chem. Commun. 3, 406 (1931)
- 26) J. J. Lingane, I. M. Kolthoff, J. An. Clem. Soc. 62, 852 (1940)
- 27) J. H. Green, A. Walkley, Australian J. Chem. 8, 51 (1955)
- 28) R. Brdicka, Collection of Czechoslovak chem. Commun. 12, 212 (1947)
- 29) J. J. Tondeur, et al, J. Electroanal. Chem., 3, 225 (1962)
- 30) 小原聖事, 關根太郎, 電気化学 32, 768 (1964)
- 31) J. Levitan, J. Electrochem. Soc., 111, 286 (1964)
- 32) F. Baumann, I. Shain, J. Am. Chem. Soc., 78, 5550 (1956)
- 33) P. Delahay, C. C. Mattax, ibid 76, 874 (1954)
- 34) 黃金小, 대한화학회지 18, 110 (1974)
- 35) Mickus, et al, Liet. TSR Mokslu Akad. Darb., Ser. B, 21 (1973) : C. A. 79, 12, 824 (1973)

- 36) 李柱性, 関根太郎, 電気化学 44, 176  
( 1976 )
- 37) W. Mehl, J. O'm Bockris, Com. J.  
Chem., 37, 190 (1959)
- 38) E. Mattson, J. O'm Bockris,  
Trans. Faraday Soc. 55, 1586  
( 1957 )
- 39) H. Gerischer, R. P. Tischer,  
Z. Elektrochem., 61, 1159 (19  
57)
- 40) H. Fischer, ibid., 63, 249  
( 1959 )
- 41) A. W. Thomas, F. C. von Wick-  
len, J. Am. chem. Soc., 56,  
794 ( 1934 )